

تحديد تركيز غاز الرادون والثورون في عينات من أهوار المنطقة الجنوبية باستخدام تقنية كواشف الأثر النووية الصلبة

نعمان سليم هاشم¹

مناف قاسم جابر² زيد رحمن عبد²

1- كلية العلوم / قسم البيئة

2- مركز علوم البحار / قسم الفيزياء البحرية

الخلاصة

لقد تم في هذه الدراسة قياس تركيز غاز الرادون في عينات مياه ورواسب أهوار كل من الحمار والحوبيزة والجبايش لقد تم استخدام الكواشف التراكمية لهذا الغرض وهي الكواشف التي تعتمد على القياسات طويلة الأمد لابعاث جسيمات ألفا حيث استخدمت كواشف الأثر النووية الصلبة (Solid State Nuclear Track Detectors) (SSNTDS) (من نوع CR-39 و LR-115 typeII وذلك بوضعها مع العينات في اسطوانة بلاستيكية مغلفة خاصة بهذه التقنية . لقد أظهرت نتائج الدراسة أن تركيز غاز الرادون في رواسب الأهوار يتراوح بين أقل قيمة له (872.457Bq.m^{-3}) في هور الجبايش وأعلى قيمة له ($4436.243 \text{Bq.m}^{-3}$) في هور الحويزة والذي يقع ضمن النسب المسموحة لتركيز غاز الرادون في أغلب دول العالم . أما تركيز غاز الرادون في عينات الماء فهو يتراوح بين أقل قيمة له (315.471Bq.m^{-3}) في كل من أهوار الجبايش والحوبيزة وأعلى قيمة له ($1744.914 \text{Bq.m}^{-3}$) في هور الحمار . وهو يقع أيضاً ضمن النسب الطبيعية لتركيز غاز الرادون . أما تركيز غاز الرادون في عينات (Beach sand) فهو يتراوح بين أقل قيمة له (315.471Bq.m^{-3}) في هور الحمار وأعلى قيمة له ($3415.871 \text{Bq.m}^{-3}$) في هور الحويزة . والتي تقع جميعها ضمن النسب المسموحة لتركيز غاز الرادون .

المقدمة:

الرادون يأتي من سلسلة انحلال اليورانيوم في التربة وإن تأثيراته الصحية ليست مباشرة ولكن بسبب تفككه إلى ولائه ذات أنصاف الأعمار القصيرة (عناصر صلبة) هي التي تكون مكمن الخطورة [Evans, 1980]. إن غاز الرادون مشع ينسلل إلى البيوت من خلال التربة أسفل المنازل وكذلك مواد البناء التي تحتوي على تركيزات مختلفة منه والذي يسبب إصابة الساكنين في هذه المنازل

Al-[بمرض سرطان الرئة بعد عدة سنين . [khalifa, 1993

إن تعرض الإنسان للإشعاع بمختلف مستوياته أمر غير مرغوب فيه لما للجرعات المرتفعة منه من تأثيرات ضارة . وحديثاً بدأ العلماء في الاهتمام بدراسة التعرض للجرعات المنخفضة من الإشعاع الصادر من النظائر الطبيعية المشعة مثل اليورانيوم ونوافع سلسلة تفككه مثل غاز الرادون Rn^{222} الذي يشكل نصف معدل الجرعة الإشعاعية المؤثرة من الإشعاع الطبيعي لعلوم البشر تقريراً [jarallah, 2008] .

تم صنع الكواشف على شكل مستطيل أبعاده ($1.5 \times 1\text{cm}$) وضعت الكواشف في غطاء الاسطوانة وتم غلق الغطاء بصورة محكمة بحيث كان بعد الكاشف (9 cm) فوق العينات المائية والرسوبية وعينات النباتات لفترة شهرين . خلال هذه الفترة تتبع جسيمات ألفا من الرادون وولائه والثoron وولائه وتسجل آثارها على الكاشف . بعد فترة التشيع يعالج (يقشط) الكاشف المعرض لجسيمات ألفا بمحلول هيدروكسيد الصوديوم (2.5 N) بدرجة حرارة (60 °C) خلال 120 دقيقة (لكاشف LR-115) ، أما بالنسبة للكاشف CR-39 بدرجة (70 ± 1 °C) خلال 7 ساعات) . بعد هذه المعالجة الكيميائية يُحدد معدل كثافة آثار جسيمات ألفا على الكاشف CR-39 والكاشف LR-115 بواسطة المجهر الضوئي الاعتيادي [Misdaq and satif , 1995] . بعد عملية عد الآثار المتكونة على الكاشف CR-39 والكاشف LR-115 تحسب كثافة الآثار ونقصد بها عدد الآثار لوحدة المساحة لوحدة الزمن ويرمز لها بالرمز (ρ_G^{CR}) بالنسبة للكاشف CR-39 و (ρ_G^{LR}) بالنسبة للكاشف LR-115 ويمكن حسابهما من العلاقة التاليتين [Misdaq and satif , 1996] .

الرادون Rn^{222} هو غاز خامل عديم اللون والطعم والرائحة غير قابل للاشتعال وهو غاز مشع لدفائق ألفا (α) لذلك لا يمكن الكشف عنه بالحواس البشرية . درجة غليانه [Shafi , 2005] (-71 °C) ودرجة انجماده (-61.8 °C) الرادون له كثافة تقدر بحوالي (9.96 kg m^{-3}) وأنقل من الهواء بحوالي 7.7 مرة وله قدرة عالية على التحرر من التربة أو الهواء لذلك يوجد قريباً من سطح الأرض [Matiulah et al. , 1993] . للرادون قدرة على الذوبان في الماء والسوائل الأخرى مثل التلوين لذلك ممكن الكشف عنه في المياه الجوفية ومياه الأنهار والبحار والمستنقعات .

التقنية المستخدمة:

استخدمت في هذه الدراسة (تقنية الاسطوانة البلاستيكية المغلقة) وهي اسطوانة بلاستيكية طولها 10cm وقطرها 3.5cm حيث توضع العينات في أسفل الاسطوانة على ارتفاع 1cm كما في الشكل (1) .

لقد تم استخدام نوعين من كواشف الأثر النووي الصلب الأول من نوع CR-39 والأخر من نوع LR-115 وقد

$$\rho_G^{CR} = A_c^{222} (Bq.m^{-3}) \left[\sum_{i=1}^3 k_i P_i^{CR} R_i + \frac{A_c^{220}}{A_c^{222}} \sum_{i=1}^4 k_i P_i^{CR} R_i \right] \dots \dots \dots (1)$$

$$\rho_G^{LR} = A_c^{222} (Bq.m^{-3}) \left[3P^{LR} \Delta R + 4P^{LR} \Delta R \frac{A_c^{220}}{A_c^{222}} \right] \dots \dots \dots (2)$$

ألفا في الهواء (جدول رقم (1) وجدول رقم (2)) ، احتمالية تسجيل جسيمات ألفا على الكاشف LR-115 ، A_c^{222} التركيز الفعال للرادون بوحدة (Bq.m^{-3}) و P_i^{CR} احتمالية تسجيل جسيمات ألفا على الكاشف CR-39 ، R_i مدى جسيمات ألفا في السماك

حيث أن A_c^{222} التركيز الفعال للرادون بوحدة (Bq.m^{-3}) هو التركيز الفعال للثoron ، k_i هي نسبة التفرع المؤدية للانحلال ، R_i مدى جسيمات ألفا على الكاشف CR-39 ، P_i^{CR} احتمالية تسجيل

($E_{\max} = 4.70 \text{ MeV}$) بالنسبة لجسيمات ألفا التي تسجل آثارها على الكاشف LR-115 type II.

من المعادلتين (1) و (2) نحصل على المعادلة التالية :

المتبقي للكاشف LR-115 . وحسب ظروف القسط التي نستعملها فإن السمك المتبقي للكاشف (LR-115 type II) بعد عملية القسط هو ($5 \mu\text{m}$) والذي يقابل أقل طاقة يتحسّسها الكاشف ($E_{\min} = 1.6 \text{ MeV}$)

$$\rho_G^{CR} = \frac{\sum_{i=1}^3 k_i P_i^{CR} R_i + \frac{A_c^{220}}{A_c^{222}} \sum_{i=1}^4 k_i P_i^{CR} R_i}{3 P^{LR} \Delta R + 4 P^{LR} \frac{A_c^{220}}{A_c^{222}}} \quad \dots \dots \dots \quad (3)$$

الفعال للثورون إلى التركيز الفعال للراديون ($\frac{A^{220}}{A^{222}}$) ثم نعرض هذه النسبة في معادلة (2) فنحصل على التركيز الفعال للراديون ومن حساب التركيز الفعال لغاز الراديون يمكن حساب تركيز الثورون بعد معرفة النسبة بين الثورون والراديون .

من هذه المعادلة نستطيع حساب النسبة بين التركيز الفعال للثورون إلى التركيز الفعال للراديون ومن ثم التعويض في أي من المعادلتين (1) أو (2) لحساب التركيز الفعال للثورون أو الراديون من غير الحاجة إلى عامل تحويل (Conversion Factor) الذي يستخدم لتحويل كثافة الآثار إلى تركيز وهذا العامل يتغير حسب ظروف العمل.

المناقشة :

أن تركيز غاز الراديون في العينات التربوية يعتمد على عدة عوامل منها طبيعة التربة الجيولوجية وخصائصها الفيزيائية إضافة إلى العوامل الجوية مثل الرياح والرطوبة ودرجة الحرارة . لذلك نلاحظ من نتائج دراستنا أن تركيز غاز الراديون في رواسب مناطق الأهوار يختلف من منطقة إلى أخرى اعتماداً على ما ذكر أعلاه ، ومن خلال النتائج المستحصلة نلاحظ أن أعلى تركيز لغاز الراديون هو في رواسب هور الحويزة ($4436.243 \text{ Bq.m}^{-3}$) وأقل تركيز هو في رواسب هور الجبايش ($872.457 \text{ Bq.m}^{-3}$) كما موضح في جدول (3) والمخطط (1). هذه النسب تعتبر طبيعية إذا ما قورنت بتركيز غاز الراديون في أغلب دول العالم والذي يقع ضمن المدى ($4000-50000 \text{ Bq.m}^{-3}$) [EPA, 1996].

أما بالنسبة للعينات المائية فأعلى تركيز هو في ماء هور الحمار ($1744.914 \text{ Bq.m}^{-3}$) وأقل تركيز هو في ماء

جمع العينات :

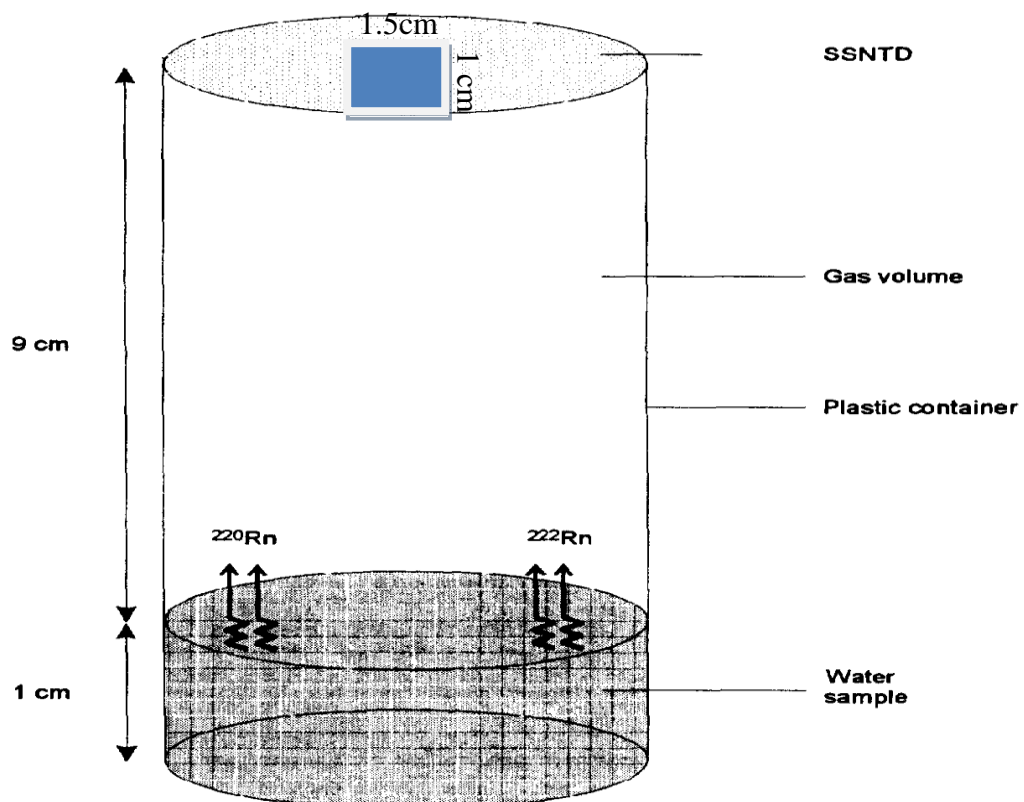
لقد تم جمع العينات من ثلاثة مناطق للأهوار في ثلاث محافظات هي البصرة والناصرية والعمارة وهي أهوار الحمار والجبايش والحوية على التوالي حيث أخذت ثلاثة عينات من كل هور هي الماء والراسب وعينة Beach sand (وهي التربة المأخوذة من الشاطيء القريب للهور وذلك لمقارنة تركيز غاز الراديون فيها بالإضافة إلى عينتين من نبات يعيش في مناطق الأهوار هما (كلادوفورا) و (بيتاميكالونا) . تجفف جميع العينات بواسطة الفرن الكهربائي ثم تطحن وتغربل للحصول على مسحوق ناعم ثم توضع مع الكاشف في عبوة بلاستيكية الموضحة في LR-115 (1) حيث توضع اسطوانة للكاشف وأخرى للكاشف CR-39 وتغلق لمدة شهرين .

الحسابات :
بعد حساب كثافة الآثر (ρ_G^{LR}) و (ρ_G^{CR}) عملياً نعرضهما في معادلة (3) فنحصل على النسبة بين التركيز

الاستنتاج :

من خلال النتائج السابقة نستنتج أن تركيز غاز الرادون في رواسب و المياه ونباتات أهوار المنطقة الجنوبيّة تقع جميعها ضمن النسب المسموحة لتركيز غاز الرادون في أغلب دول العالم وحسب الوكالة الدوليّة لحماية البيئة الأمريكية (EPA). أما التركيز العالي لبعض العينات فقد يعود إلى وجود تراكيز عالية من الراديوم الذي ينتج الرادون في الرواسب والذي يختلف من منطقة إلى أخرى كما ذكرنا أعلاه . ويمكن أن نستنتج أيضاً أن الكواشف الصلبة هي كواشف جيدة للكشف عن المستويات الواطنة من الإشعاع حيث لا تحتاج إلى مصادر طاقة وغير معقدة إذا ما قورنت بالأجهزة الأخرى.

هور كل من الجبايش والحوبيزة ($315.471 \text{ Bq.m}^{-3}$) كما موضح في جدول(4) والمخطط (2). وهذه النسب لم تتجاوز الحد المسموح به لتركيز غاز الرادون في أغلب دول العالم بالرغم من وجود تركيز عالي في منطقة هور الحمار حيث حددت منظمة (EPA) الأمريكية أعلى تركيز مسموح لغاز الرادون بحوالي (300PCi.L^{-1}) والذي يقابل حوالي Beach [EPA,1996] (11100 Bq.m^{-3}). أما عينات sand فإن أعلى قيمة له في هور الحويزة (3415.871Bq.m^{-3}) وأقل قيمة في هور الحمار (315.47Bq.m^{-3}) كما موضح في الجدول (5) والمخطط (3) .



شكل (1) الاسطوانة البلاستيكية يظهر فيها الكاشف النووي (SSNTDs) مثبت في غطاء الاسطوانة والعينة في أسفل الاسطوانة على ارتفاع 1cm تفصلهما مسافة 9cm [Misdaq et al.,1997]

(7) احتمالية ومدى جسيمات ألفا للكاشف CR-39

<i>Nuclide</i>	$E_{\alpha i} (Mev)$	$R_i (cm)$	$P_i^{CR} \times 10^{-3}$
جسيمات ألفا لمجموعة الرادون			
^{222}Rn	5.49	3.90	2.871
^{218}Po	6.00	4.65	3.383
^{214}Po	7.68	6.62	4.44
جسيمات ألفا لمجموعة الثورون			
^{220}Rn	6.28	4.80	3.391
^{216}Po	6.78	5.45	3.527
^{212}Bi	6.08	4.75	3.433
^{212}Po	8.78	8.36	5.711

الجدول (2) يوضح قيم الاحتمالية لجسيمات ألفا لمجموعة الرادون والثورون والتي تسجل على الكاشف LR-115 لمختلف السمك المتبقى في حجم الغاز (9)

السمك المتبقى Residual thickness, μm	R_{min} cm	R_{max} Cm	$P^{LR} \times 10^{-3}$
3	0.46	3.83	203.299
4	0.61	3.52	11.302
5	0.80	3.44	4.329
6	0.98	2.71	1.536
7	1.07	2.66	1.406
8	1.29	2.53	1.336
9	1.42	2.31	0.267
10	1.60	2.02	0.191

الجدول (3) يوضح تركيز الرادون في عينات الرواسب

A_c^{222} ($Bq \cdot m^{-3}$)	A_c^{220}/A_c^{222}	$\rho_G^{CR} \times 10^{-4}$ ($Tr \cdot cm^{-2} \cdot s^{-1}$)	$\rho_G^{LR} \times 10^{-4}$ ($Tr \cdot cm^{-2} \cdot s^{-1}$)	المنطقة	الرقم
3487.935	0.224	2.524	1.553	الحمار	1
872.457	0.223	0.6310	0.3883	الجبايش	2
4436.243	0.374	3.689	2.281	حويةة	3

الجدول (4) يوضح تركيز الرادون في العينات المائية

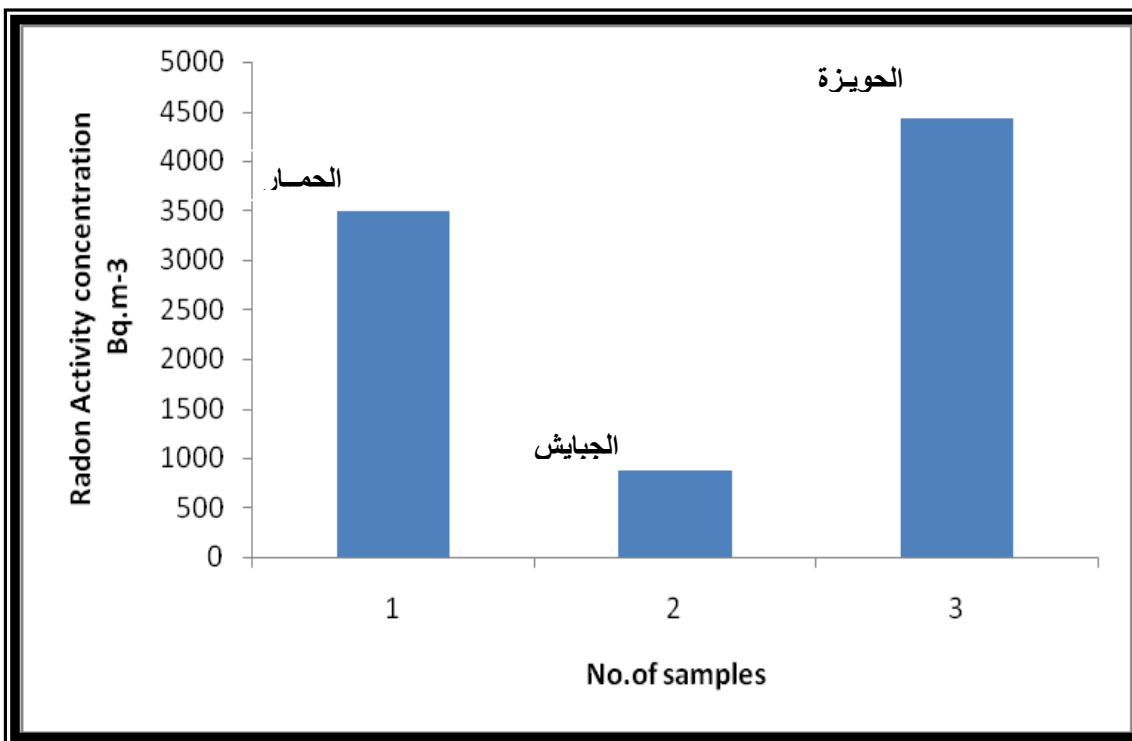
A_c^{222} (Bq .m ⁻³)	A_c^{220}/A_c^{222}	$\rho_G^{CR} \times 10^{-5}$ (Tr.cm ^{-2.s⁻¹})	$\rho_G^{LR} \times 10^{-5}$ (Tr.cm ^{-2.s⁻¹})	المنطقة	الرقم
1744.914	0.223	1.262	7.766	الحمار	1
315.471	0.932	3.883	2.427	الجبايش	2
315.471	0.932	3.883	2.427	حويةزة	3

الجدول (5) يوضح تركيز الرادون في عينات (Beach sand)

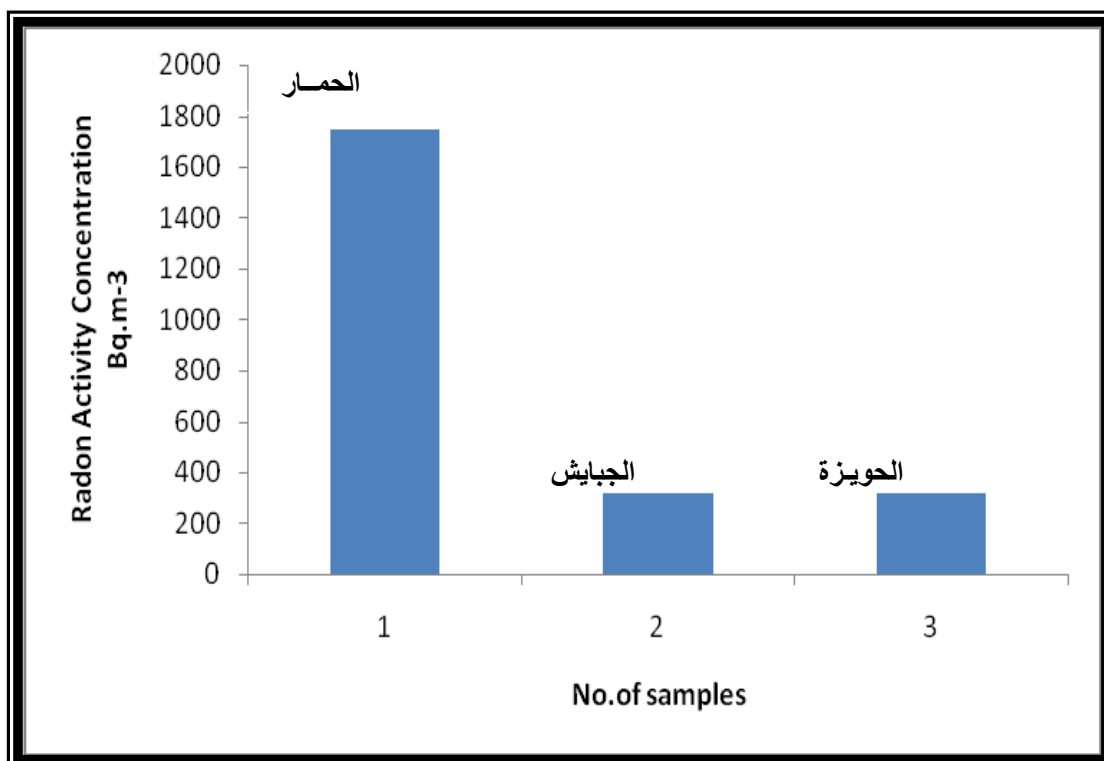
A_c^{222} (Bq .m ⁻³)	A_c^{220}/A_c^{222}	$\rho_G^{CR} \times 10^{-4}$ (Tr.cm ^{-2.s⁻¹})	$\rho_G^{LR} \times 10^{-4}$ (Tr.cm ^{-2.s⁻¹})	المنطقة	الرقم
315.471	0.932	0.388	0.242	الحمار	1
1261.886	0.932	1.553	0.970	الجبايش	2
3415.871	0.271	1.990	1.213	حويةزة	3

الجدول (6) يوضح تركيز الرادون في عينات النباتات المائية

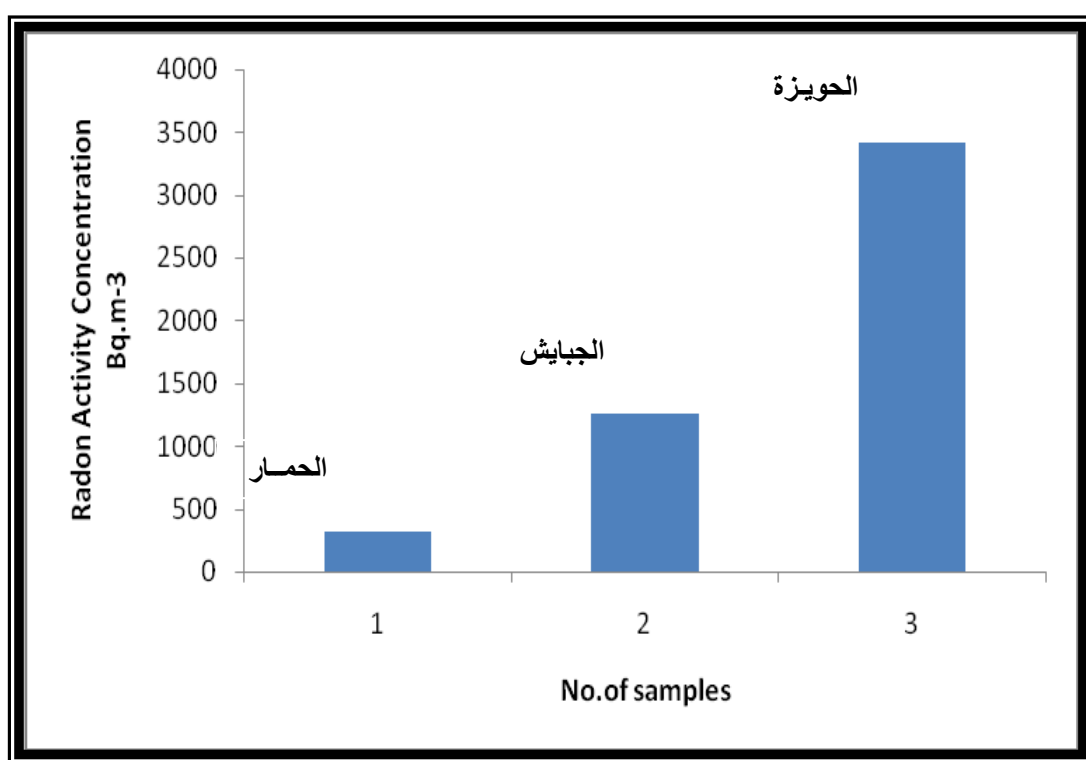
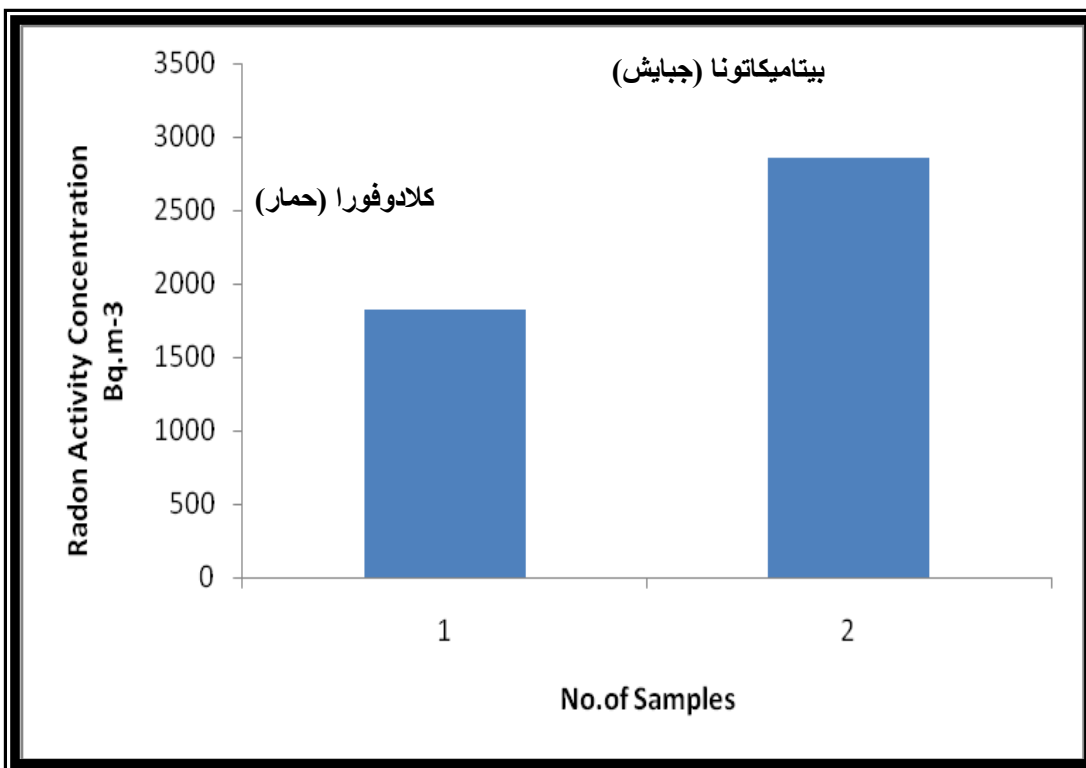
A_c^{222} (Bq .m ⁻³)	A_c^{220}/A_c^{222}	$\rho_G^{CR} \times 10^{-4}$ (Tr.cm ^{-2.s⁻¹})	$\rho_G^{LR} \times 10^{-4}$ (Tr.cm ^{-2.s⁻¹})	المنطقة	الرقم
1818.872	0.592	1.795	1.116	كلادوفورا (حمار)	1
2858.885	0.670	1.747	1.067	بيتاميكتونا (جبايش)	2



مخطط (1) يوضح تركيز الرادون في عينات الرواسب



مخطط (2) يوضح تركيز الرادون في العينات المائية

مخطط (3) يوضح تركيز الرادون في عينات الرمل على الشاطئ
Beach sandمخطط (4) يوضح تركيز الرادون في عينات النباتات المائية
Water plants

Nucl. Tracks and Radial. Meas. 22:395-398, (1993).

Misdaq M.A. and Satif C. Journal Radianalytical and nuclear chemistry , Articals , 198(1) 179-189, (1995) .

Misdaq M.A. , Satif C. , Journal Radioanalytical and Nuclear chemistry , Articals, 207(1):107-116, (1996).

Misdaq M.A., Moustaaidine H. , Satif C. , and Charik R. , Appl. Radiat Isot, 48(1):111-115, (1997).

Shafi-ur-Rehman "Radon measurements with CR-39 detectors for uranium or analysis and risk assessment " PhD thesis , Pakistan Institute of Engineering and Applied science (PIEAS),Islamabad 45650,Nov,(2005).

REFERENCES

Environmental Protection Agency , Ionizing Radiation , United Stat EPA - 402 – F06 – 061 , March (1996) .

Evans ,R.D."Engineering guid to the elementary behavior of radon daughters "health physics ,38,1173,(1980) .

Al-jarallah ,Radiation Physics , Fahad university for petrol and metals "atom journal" 20,1,(2008)

Al- Khalifa I.J.M " Polymers Track Detector Used For Radon Survey in Babil City (Al Hillah-Iraq).J.Basra Researches(Sciences) 32(6):26-30, (1993) Matiulah, A. Bashir, Kudo, and Yang,X. " Radon measurement in some houses of tsukuta sience city " Japan .

Determination of radon and thoron concentration in samples from southern marshes of Iraq by SSNTDs technique

Numan .S.Hashim¹, Munaf.K.Jabir², Zaid.R.Abid²

¹ collage of science ecology department, ² marin center marin physics department

ABSTRACT

many samples of water ,sediment and plant have been collected from southern marshes of Iraq to determine radon concentration Long-term technique for alpha particles emission with solid state nuclear track detectors (SSNTDs) Type CR-39 and LR-115 type II were used in closed cylinder technique. Each sample is placed in a closed cylinder plastic container. The result showed that radon concentration in sediment samples were ranged between minimum value ($872.457 \text{ Bq.m}^{-3}$) in Al-chebaish marsh and maximum value ($4436.243 \text{ Bq.m}^{-3}$) in Al-hawizah marsh which situated in the allowed level of radon concentration in soil. The radon concentration in water samples were ranged between minimum value ($315.471 \text{ Bq.m}^{-3}$) in Al-chebaish and Al-hawizah marsh and maximum value ($1744.914 \text{ Bq.m}^{-3}$) in Al-hamar marsh which situated in the allowed level of radon concentration in water. The radon concentration in Beach sand samples were ranged between minimum value($315.471 \text{ Bq.m}^{-3}$) in Al-hamar marsh and maximum value ($3415.871 \text{ Bq.m}^{-3}$) in Al-hawizah marsh. In general we found that the radon activity concentration in sediment ,water and plant under studies are in the range of allowed level .